

2002年秋季陕北地区一次锋面 云系综合探测分析^①

陈保国¹ 樊 鹏¹ 雷崇典² 郭 强¹ 何 军¹

(1. 陕西省人工影响天气中心, 西安 710015; 2. 陕西省延安市气象台)

提 要

使用载有粒子测量系统(PMS)、卫星全球定位系统(GPS)的飞机对2002年9月13日陕北地区一次降水性层状云系进行了有设计的催化、探测飞行。获取了云微物理背景值和影响值, 分析发现: 催化影响区内小冰晶数量产生了量级上的增加, 雷达RHI融化层出现的局部凸起, 可能是播撒液态二氧化碳催化后过冷云水消耗释放的溶解潜热导致融化层局部升温上抬形成。

关键词: 人工催化 LC催化 催化的物理响应

引 言

陕北、渭北地区属于黄土高原沟壑区。长期以来, 由于气候自然变迁和人类活动的共同影响, 地表植被长期遭受破坏, 水土流失严重, 地表、地下水资源短缺, 极大地制约着该地区农、牧、林业发展, 影响西部大开发战略的实施, 迫待寻求解决办法。大量室内实验、理论研究和外场试验证明, 采用科学手段, 实施人工增雨是开发空中水资源, 解决干旱问题的途径之一。国家重点攻关项目《黄河中游(陕、甘、宁)干旱、半干旱地区高效人工增雨(雪)技术开发与示范》项目组, 重点开展了对陕北、渭北地区降水性层状云系的微物理结构特征探测及物理评估研究工作。本文根据2002年9月13日第一架次探测飞行所取得的云微物理背景值和影响值资料, 分析了对播撒液态二氧化碳(LC)云微物理结构的物理响应、雷达回波、地面降水等的变化。

1 天气形势

9月12日500hPa高空图上, 乌拉尔山到贝加尔湖维持一欧亚大脊, 河套处于东北

大槽后部中纬度的平直气流之中, 我国东南大部分地区受副热带高压控制, 受其影响, 青藏高原东部上空盛行偏南风, 把孟加拉湾水汽带入河套区上空, 与副热带高压外围的偏南气流形成两股水汽输送带, 在河套地区上空形成辐合。由于冷空气活动偏北, 中纬度平直西风气流有较弱小波动东移影响, 在我国北部大部分地方形成稳定的降水天气。9月12日20时至13日20时的500hPa高度上(图略)可以看出, 副热带高压有一次明显的西伸东退的过程, 造成北侧的冷空气随西北气流中的短波槽东移南压, 迅速下滑进入河套区上空, 并与南侧偏南风暖湿气流交汇, 在河套区中部上空形成大面积降水云区。延安站13日08时 $T - T_d = 0.7$, 对应于卫星红外云图上(图略)可以看到, 在作业区上空对应有深厚降水云团。

在700hPa高度上, 9月12~13日河套底部维持有偏南气流的水汽输送, 13日08时延安站上空有一中尺度切变与500hPa槽切变配合, 是降水的影响系统。再是700hPa至500hPa形成相当的湿层, 成为较有利

① 获国家科技部“西部开发科技行动”重大攻关项目(2001BA901A41)课题资助。

降水的大气层结。分析得出长波槽云系多为层云,具有一定的含水量。在地面图上由于受冷高压控制,云层总体较薄、云带较窄、移速较快,这种天气形势,从预报角度来讲是不利于产生大范围中雨以上的降水天气。

2 卫星云图

2002年9月13日10时卫星红外云图(图略)可见,降雨云带自西北向东南方向移动,700hPa偏南气流输送的水汽与500hPa西西北气流中的冷空气在延安地区上空交汇形成较深厚的云层。从12时的云图(图略)上看,主体云系仍在延安上空,13时以后随着主力云系继续向东南方向移动,延安地区逐渐处于云系后部。但延安以南地区仍有大片云系(图略)。

3 探测飞机及主要检测仪器

使用Y-12型飞机,机上装备粒子测量系统(PMS)、机载微波辐射计,陕西省人工影响天气办公室卫星全球定位系统(GPS),温、湿度测量仪、空-地(语音、数据)传输系统。PMS系统主要包括两个标准的二维粒子图像探头(2D-C探头和2D-P探头)、一个标准的一维粒子向前散射探头(FSSP-100探头)。总的测量范围为0.5~6400μm,其中FSSP-100适用于测量小粒子(0.5~47μm)的浓度

谱,计算相应的云水含量。2D-C和2D-P探头主要是测量大的雨滴和冰雪晶粒子(25~6400μm),不仅可以给出所探测到的粒子的浓度,还可给出所探测到的雨滴、冰晶以及雪花粒子的图像数据。

4 航线设计及实施

4.1 航线设计

对第一架次作业、探测飞行我们作了较为严谨的试验设计,试验的目的是利用机载PMS粒子测量系统检测在不同高度(过冷层)作业区以及在预计的下风方影响区内云的微物理变化,寻求播撒催化剂后能否观测到冰雪晶浓度的明显增加或者其他能直接说明催化有效的物理证据。依据天气条件和延安当天07时探空、雷达实时资料分析,9月13日上午,延安尚处于较为有利作业的云区,云系顶高5500m左右,3000~5000m主导风向为偏西风,风速1~14m·s⁻¹,确定实施本场垂直探测作业飞行。入云后每隔500m做一次水平探测,每层探测、作业面积控制在大约150km²(30km×5km)范围内,气温低于0℃时使用液态二氧化碳(LC)开始催化作业。从飞机起飞始PMS、GPS等仪器进行连续采样。实际飞行轨迹见图1(a,b)。

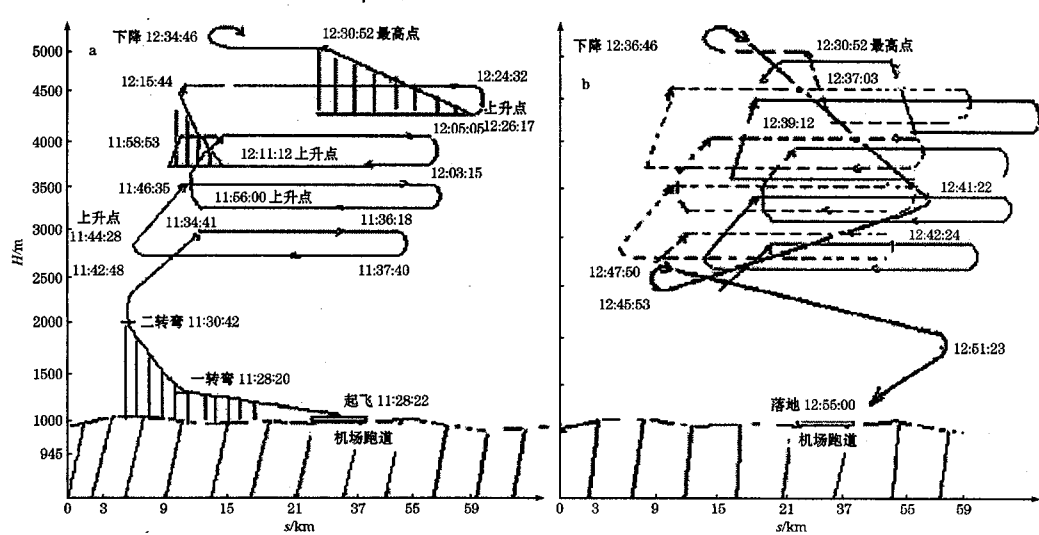


图1 02091301 航线设计示意图
a、上升作业、探测飞行轨迹,b、下降探测飞行轨迹

多小冰晶^[3]。

5.2 冰雪晶增长情况

图3是2D-C探头检测到的 $25\mu\text{m}$ 粒子在背景区及可能影响区内垂直分布结果,可见在与作业时段(11:46:36~11:56:22),3500m高度层;(11:58:53~12:10:56),4000m高度层和(12:15:44~12:24:32),4500m高度层相对应的影响区内同高度层上出现了3个明显的粒子浓度的大值区,其值分别为 $34.6\text{ 个}\cdot\text{L}^{-1}$ 、 $36.0\text{ 个}\cdot\text{L}^{-1}$ 、 $49.5\text{ 个}\cdot\text{L}^{-1}$ 。整层N的平均值是 $28.6\text{ 个}\cdot\text{L}^{-1}$,比作业探测区N的平均值 $3.2\text{ 个}\cdot\text{L}^{-1}$ 高出1个数量级,并且在影响区的每个高度上N的平均值均在 $10^1\text{ 个}\cdot\text{L}^{-1}$,而背景区每个高度上N的平均值均在 $10^0\text{ 个}\cdot\text{L}^{-1}$ 。由此我们认为,这可能是因为液态二氧化碳的同质核化速率较快,大量进入云内的冰晶胚胎迅速生长成小冰晶所致。

2D-P探头检测到3800~4300m高度上

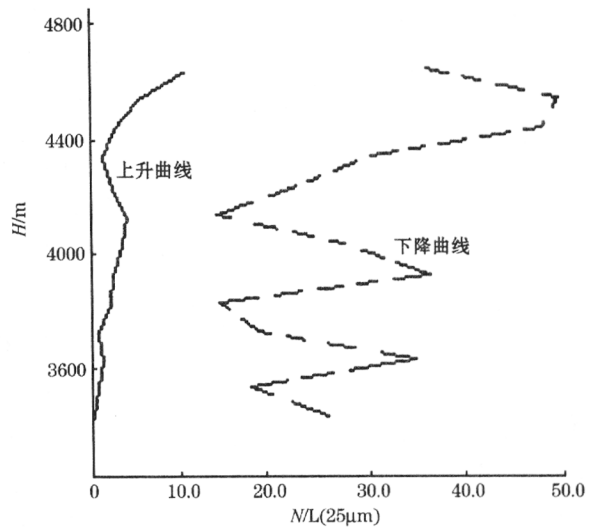


图3 2D-C探头 $25\mu\text{m}$ 粒子垂直分布

可能影响区内尺度在 $200\mu\text{m}$ 左右的较大冰晶浓度值比背景区也有较明显的增加,其中3800m高度背景值为 $2710\text{ 个}\cdot\text{m}^{-3}$,影响值为 $5537\text{ 个}\cdot\text{m}^{-3}$;4250m高度背景值为 $6585\text{ 个}\cdot\text{m}^{-3}$,影响值为 $12760\text{ 个}\cdot\text{m}^{-3}$,分别约高出1倍。从催化响应时间分析,较小冰晶增长到该尺度是可能的。

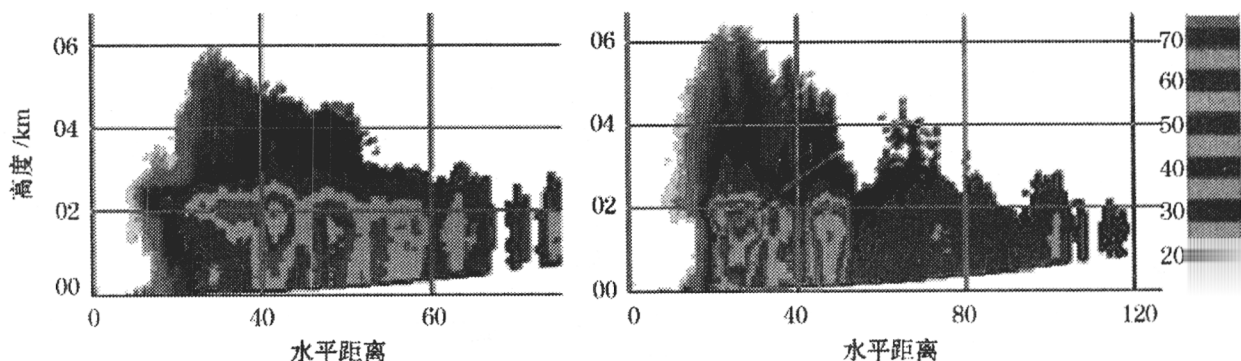


图4 2002年9月13日延安雷达RHI演变图

a. 10:23、116° b. 12:26、120°

6 雷达回波

延安雷达站位于延安机场正北方刘万家沟,海拔1170m,距离机场约2km。图4a雷达RHI显示10:23、方位116°、距测站15~100km处云顶最大顶高接近5.9km(拟飞行观测区域方向),飞机观测0°C高度为海拔3.5km,距雷达站的相对高度为2330m,回波强度为30dBz,其下为正温区,在0°C下方116°方向35~70km处分别有3块强度达30~40dBz的降水回波。最大回波强度40dBz位于45km处。据测算过冷层厚度为

3.6km,过冷层厚度与暖云区厚度约为1.5:1。图4b为12:26、方位120°作业区内,距雷达站20km处,云顶高接近6.5km,最大顶高处对应的下方,20dBz回波出现两处凸起,凸起部分位于0°C层上方。凸起高度大约有500~700m,我们认为云内局部出现了融化层上抬凸起,这可能与播撒LC后的同质核化产生冰晶增长,过冷滴消耗释放的溶解潜热致使局部温度升高有关,120°方向更远距离40~80km处亦有凸起,但强度明显小于催化区。

